

РАСЧЕТ ЭЛЕКТРИЧЕСКОЙ ДУГИ В АРГОНЕ,  
СТАБИЛИЗИРОВАННОЙ СТЕНКАМИ, С УЧЕТОМ ПЕРЕНОСА  
ЭНЕРГИИ ИЗЛУЧЕНИЕМ

*B. H. Ветлуцкий, A. T. Онуфриев, B. Г. Севастьяненко*

(*Новосибирск*)

В работах [1,2] и докладе Э. И. Асиновского и А. В. Кириллина на Научно-технической конференции НИИ высоких температур 1964 г. экспериментально показано, что механизм переноса тепла в стабилизированной стенками канала дуге в аргоне не является чисто кондуктивным при температуре газа, большей  $11\ 000^{\circ}$  К. В последней работе показано, что причиной нарушения подобия при построении вольт-амперных характеристик в безразмерном виде является перенос энергии излучением. Вопрос об излучении аргоновой дуги экспериментально исследовался в ряде работ [3-5]. Без учета излучения расчет дуги в аргоне проведен в работе [6].

В настоящей работе проведен расчет дуги в аргоне, стабилизированной охлаждающими стенками канала, при учете излучения с использованием теоретически рассчитанных зависимостей, описывающих свойства переноса аргоновой плазмы. Большая часть излучаемой энергии принадлежит спектральным линиям, роль которых исследована в работах Л. М. Бибермана. Авторами использованы данные И. Т. Якубова по излучению аргона, которые будут опубликованы в журнале «Оптика и спектроскопия». Методика расчета и данные по излучению аргоновой плазмы приведены также в работе [7].

В работе [8] изучался вопрос о роли излучения в дуге, горящей в азоте. В частности, из результатов этой работы следует нарушение указанного выше подобия. Однако использованные в этой работе зависимости, описывающие свойства переноса азотной плазмы, получены экспериментальным путем [9].

*Обозначения*

$r_0$ — радиус дуги [см];	$k$ — постоянная Больцмана;
$r$ — текущий радиус [см];	$e$ — заряд электрона;
$T$ — температура [ $^{\circ}$ К];	$p$ — давление;
$\alpha$ — коэффициент теплопроводности [ $\text{эрз см}^{-1}\text{сек}^{-1}\text{град}^{-1}$ ];	$\alpha$ — степень ионизации;
$E$ — напряженность электрического поля [ $e^{1/2} \text{ см}^{-1/2} \text{ сек}^{-1}$ ];	$N_e$ — концентрация электронов [ $\text{см}^{-3}$ ];
$\sigma'$ — коэффициент электропроводности [ $\text{сек}^{-1}$ ];	$N_0$ — концентрация нейтральных атомов;
$q_1$ — плотность потока тепла, обусловленного теплопроводностью;	$Q_{0e}$ — сечение столкновения электрона с нейтральным атомом;
$q_2$ — плотность потока тепла, обусловленного излучением;	$Q_{ie}$ — сечение столкновения электрона с ионом [ $\text{см}^2$ ];
$u$ — величина дивергенции плотности потока энергии, переносимой излучением в прозрачной части спектра [ $\text{эрз см}^{-3}\text{сек}^{-1}$ ];	$v_0$ — частота центра линии [ $\text{сек}^{-1}$ ];
$u_2$ — то же для части спектра, где учтена реабсорбция	$\Delta v_+$ — полуширина линии (расстояние от центра линии до контура при $k_y = 1/k_v$ ), обусловленная эффектами, дающими дисперсионный контур;
$m_0$ — масса атома;	$k_v$ — коэффициент поглощения [ $\text{см}^{-1}$ ];
$m_e$ — масса электрона;	$\mathcal{E}$ — энергия, излучаемая полусферическим объемом;
$\sigma$ — постоянная Стефана — Больцмана;	$\varepsilon$ — степень черноты полусферического объема;
$h$ — постоянная Планка;	$l$ — радиус полусферического объема;
	$S$ — сила линии.

**1. Уравнение.** Расчет проводился для случая ламинарного течения с малыми скоростями, когда дуга представляет цилиндр постоянного радиуса, свойства которого не изменяются по длине. Величина напряженности электрического поля постоянна вдоль оси дуги и по сечению. Предположено существование локального термодинамического равновесия. Процесс теплопередачи в дуге описывается уравнением энергии [10]

$$\sigma' E^2 + \frac{1}{r} \frac{d}{dr} \left( r \kappa \frac{dT}{dr} \right) - u = 0 \quad (u = u_1 + u_2) \quad (1.1)$$

Первое слагаемое характеризует величину энергии, выделяющуюся в дуге, второе — перенос энергии за счет теплопроводности, третье — перенос энергии излучением. Вводится функция

$$\Phi = \int_0^T \kappa dT$$

и уравнение (1.1) переписывается в виде

$$\Phi(r') = \Phi(0) + r_0^2 \int_0^{r'} \frac{1}{z} \int_0^z u(t) t dt dz - (r_0 E)^2 \int_0^{r'} \frac{1}{z} \int_0^z \sigma'(t) t dt dz \quad (1.2)$$

Уравнение решается методом последовательных приближений при задании радиуса дуги и температуры газа на оси.

**2. Состав и свойства переноса аргоновой плазмы.** Определение степени ионизации проводилось по формуле Саха с учетом снижения потенциала ионизации [11]. Величина потенциала ионизации  $U_i$  и другие необходимые данные взяты по работе [12].

Коэффициент электропроводности рассчитывался по формуле [13, 14]

$$\sigma' = 0.532 \frac{N_e e^2}{(m_e k T)^{1/2}} \frac{1}{N_0 Q_{0e} + N_i Q_{ie}} \quad (2.1)$$

где

$$Q_{ie} = 0.90 \left( \frac{e^2}{k T} \right)^2 \ln \left[ \frac{3}{\sqrt{8} e^3} \left( \frac{k^3 T^3}{\pi N_e} \right)^{1/2} \right] \quad (2.2)$$

Величина сечения столкновения электрона с атомом  $Q_{0e}$ , определяемая по измерениям подвижности электронов, взята из работы [13].

Коэффициент теплопроводности определяется суммой

$$\kappa = \kappa_0 + \kappa_e + \kappa_i$$

Здесь  $\kappa_0$  — коэффициент теплопроводности смеси тяжелых частиц,  $\kappa_e$  — коэффициент электронной теплопроводности,  $\kappa_i$  — коэффициент теплопроводности, обусловленный переносом энергии ионизации.

Расчет  $\kappa_0$  проводился по формуле [10]

$$\kappa_0 = \sum_s \frac{1}{3} N_s \lambda_s v_s \left( \frac{5}{2} c_s^\circ + c_s^1 \right) \quad \left( c_s^\circ = \frac{3k}{2} \right) \quad (2.3)$$

Здесь  $c_s^\circ$  — теплоемкость, соответствующая поступательным степеням свободы,  $c_s^1$  — теплоемкость, соответствующая внутренним степеням свободы,  $v_s$  — средняя скорость теплового движения частиц,  $\lambda_s$  — длина свободного пробега

$$\frac{1}{\lambda_s} = \left( 1 - \frac{1}{2} P_{ss} \right) N_s Q_{ss} \left( \frac{1}{m_s} + \frac{1}{m_s} \right)^{1/2} + \left( 1 - \frac{1}{2} P_{sp} \right) N_p Q_{sp} \left( \frac{1}{m_s} + \frac{1}{m_p} \right)^{1/2}$$

$$P_{sp} = \frac{m_s - 0.2 m_p}{m_s + m_p}$$

Вычисления  $\kappa_e$  по формуле [10] и  $\kappa_1$  по формуле [15] дают  
 $\kappa_e = \frac{2}{3} N_e \lambda_e v_e (1 + \alpha)$  при  $\alpha \ll 1$ ,  $v_e = \sqrt{3kT/m_e}$ ,  $\lambda_e = (N_0 Q_{0e} + N_i Q_{ie})^{-1}$

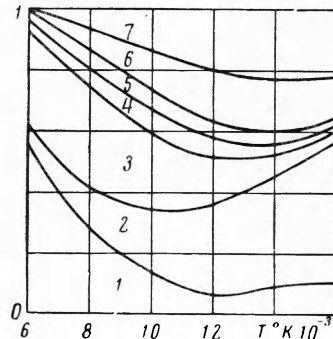
$$\alpha = N_e / (N_0 + N_e) \quad (2.4)$$

$$\kappa_e = 0.397 \cdot 10^{-2} (kT)^{1/2} / Q_{ie} \quad (2.5)$$

$$\kappa_1 = \left( \frac{5}{2} kT + U_i \right) D_1 \frac{\rho}{m_0} \frac{d\alpha}{dT} \quad (2.6)$$

$$D_1 = \frac{3\sqrt{2\pi}}{8} \frac{\sqrt{kT(m_0^{-1} + m_i^{-1})}}{(N_i + N_0) Q_{0i}} \quad (2.7)$$

Полное сечение столкновения иона с атомом при энергии порядка 1 эв взято по данным работы [16]:  $Q_{0i} = 90 \cdot 10^{-16} \text{ см}^2$ .



Фиг. 1

**3. Излучение.** На фиг. 1 приведен график из работы И. Т. Якубова при  $p = 1 \text{ атм}$  и  $l = 0.1 \text{ см}$ , показывающий относительные доли излучаемой энергии, обусловленные различными переходами: 1 — резонансные линии, 2 — остальные переходы в основное состояние, 3 — переходы на  $4s$ -уровни, 4 — переходы на  $4p$ -уровни, 5 — переходы между всеми более высокими уровнями, 6 — рекомбинационное (с образованием возбужденных атомов) и тормозное излучение, 7 — рекомбинация в основное состояние. При радиусе дуги до 3—4 мм области 4, 5, 6 можно считать прозрачными. Область 3 соответствует переходам на  $4s$  уровни. Для наиболее сильных линий  $4s - 4P$  были построены контуры линий и сделаны оценки энергии, переносимой в прозрачной области спектра (при  $k_v r_0 < 1$ ). Оказалось, что при диаметре до 3 мм ( $p = 1 \text{ атм}$ ) все линии можно считать прозрачными, при диаметре до 1 см это будет справедливо с погрешностью до 20% от энергии, излучаемой этими сильными линиями. При  $p = 10 \text{ атм}$  и диаметре дуги 6 мм энергия, приходящаяся на прозрачную часть линий, составляет до 70% от области 3. Остальные переходы на  $4s$  при рассматриваемых параметрах принадлежат прозрачной части спектра.

Для областей 1, 2 были проделаны специальные оценки. В пределах линии есть участки спектра, в которых нужно учитывать реабсорбцию. Строго следует воспользоваться интегральными представлениями для учета переноса энергии излучением, но это чрезвычайно усложняет задачу, поэтому желательно ввести разумные упрощения. Разобъем частотный интервал в пределах линии (рассматривается симметричная линия) на три области: интервал от  $v_0$  (центр линии) до  $v_1$ , где применимо приближение лучистой теплопроводности; интервал от  $v_2$  до  $\infty$ , где применимо приближение объемного излучения, и промежуточную область, где указанные приближения несправедливы. Для оценки граничных частот  $v_1$  и  $v_2$  подсчитаем потоки энергии при разных значениях  $k_v r_0$  (принимая коэффициент поглощения постоянным по радиусу, что достаточно для оценок в центральной части дуги) в приближениях:

а) объемного излучения

$$q_v' = \frac{1}{V^{3x}} \int_0^x \Phi_v^\circ(\zeta) \zeta d\zeta \quad (3.1)$$

б) лучистой теплопроводности

$$q_v'' = -\frac{1}{3k_v r_0} \frac{d\Phi_v^\circ}{dT} \frac{dT}{dr'} \quad (3.2)$$

в) в диффузационном приближении (первый член разложения в методе сферических гармоник [17]); диффузационное приближение правильно дает предельные случаи и достаточно точно описывает промежуточную область.

Уравнение переноса энергии излучением в диффузационном приближении имеет вид

$$\frac{1}{k_v r_0} \frac{1}{r'} \frac{d}{dr'} (r' q_v) = \varphi_v^0 - \varphi_v, \quad q_v = - \frac{1}{3 k_v r_0} \frac{d\varphi_v}{dr'} \quad (3.3)$$

где  $\varphi_v / c$  — плотность излучения,  $\varphi_v^0 / c$  — плотность равновесного излучения,  $q_v$  — плотность потока энергии,  $r' = r / r_0$ . Границные условия

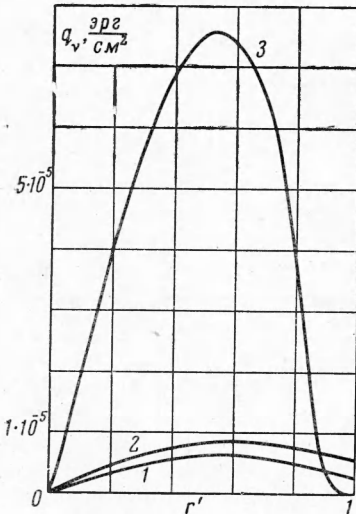
$$\frac{d\varphi_v}{dr'} = 0 \quad \text{при } r' = 0, \quad - \frac{0.76}{k_v r_0} \frac{d\varphi_v}{dr'} = \varphi_v \quad \text{при } r' = 1 \quad (3.4)$$

Плотность потока энергии из (3.3) и (3.4) есть

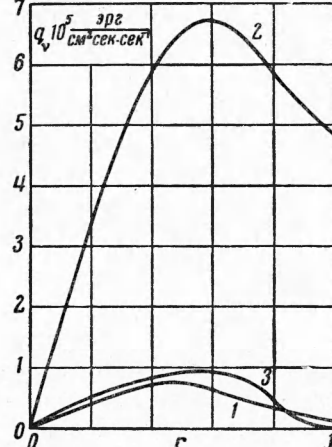
$$q_v = \frac{K_1(x)}{\sqrt{3}} \int_0^x \varphi_v^0(\zeta) I_0(\zeta) \zeta d\zeta - \frac{I_1(x)}{\sqrt{3}} \left\{ \frac{0.76}{0.76 \sqrt{3} K_1(x_0) + I_0(x_0)} \times \right. \\ \left. \times \int_0^{x_0} \varphi_v^0(\zeta) I_0(\zeta) \zeta d\zeta + \int_{x_0}^x \varphi_v^0(\zeta) K_0(\zeta) \zeta d\zeta \right\} \quad (3.5)$$

Здесь  $K_0$ ,  $K_1$ ,  $I_0$ ,  $I_1$  — функции Бесселя  $x = \sqrt{3} k_v r$ .

Чтобы выяснить, при каких значениях  $k_v r_0$  можно пользоваться тем или иным приближением, построим зависимость  $q_v(r)$  для заданного профиля температуры (кривая 1 на фиг. 6). На фиг. 2 в качестве примера приведены такие зависимости при  $k_v r_0 = 0.577$ : кривая 1 — диффузационное приближение, 2 — приближение объемного излучения, 3 — приближение лучистой теплопроводности. Приближение лучистой теплопроводности на порядок завышает плотность потока энергии,



Фиг. 2



Фиг. 3

а приближение объемного излучения достаточно хорошо совпадает с «точным» решением. При  $k_v r_0 = 4.62$  (фиг. 3) картина обратная: приближение объемного излучения во много раз завышает результат, а приближение лучистой теплопроводности уже достаточно точно. Так как выбранный профиль температуры типичен для рассматриваемой задачи, то на основании проведенных оценок сделан вывод, что приближение лучистой теплопроводности можно использовать, начиная с длины пробега излучения, в 4—5 раз меньшей радиуса, а границу прозрачной области можно поставить при условии  $k_v r_0 \approx 1$ .

Между границами  $k_v r_0 = 1$  и  $k_v r_0 = 4$  лежит промежуточная область, в которой можно воспользоваться диффузационным приближением.

Для определения коэффициента лучистой теплопроводности нужно проинтегрировать выражение (3.2) в интервале частот, где  $k_v r_0 > 4$ . Тогда

$$\kappa' = \int_{v_0}^{v_1} \frac{2}{3k_v} \frac{d\varphi_v}{dT} dv \quad (3.6)$$

Для линии  $d\varphi_v/dT = d\varphi_{v_0}/dT$

$$\kappa' = \frac{2}{3} \frac{d\varphi_{v_0}}{dT} \int_{v_0}^{v_1} \frac{dv}{k_v} \quad (3.7)$$

В случае сильной реабсорбции в центре линий (что имеет место в рассматриваемом случае) граница области  $v_1$  лежит достаточно далеко от центра по сравнению с полушириной линии, поэтому для контура линии можно воспользоваться асимптотикой. Для аргона линии имеют дисперсно-допплеровский контур, для которого асимптотическое выражение имеет вид

$$k_v = \frac{S \Delta v_+}{\pi} \frac{1}{(v - v_0)^2} \quad (3.8)$$

Это выражение перестает быть справедливым вблизи центра линии, что, однако, несущественно, так как основной вклад в интеграл (3.7) вносит область вблизи границы. Из (3.7) и (3.8) получаем (для  $hv / kT \gg 1$ )

$$\kappa' = \frac{\varepsilon' \sigma T^4}{9} \frac{hv_0}{kT^2} r_0 \quad (3.9)$$

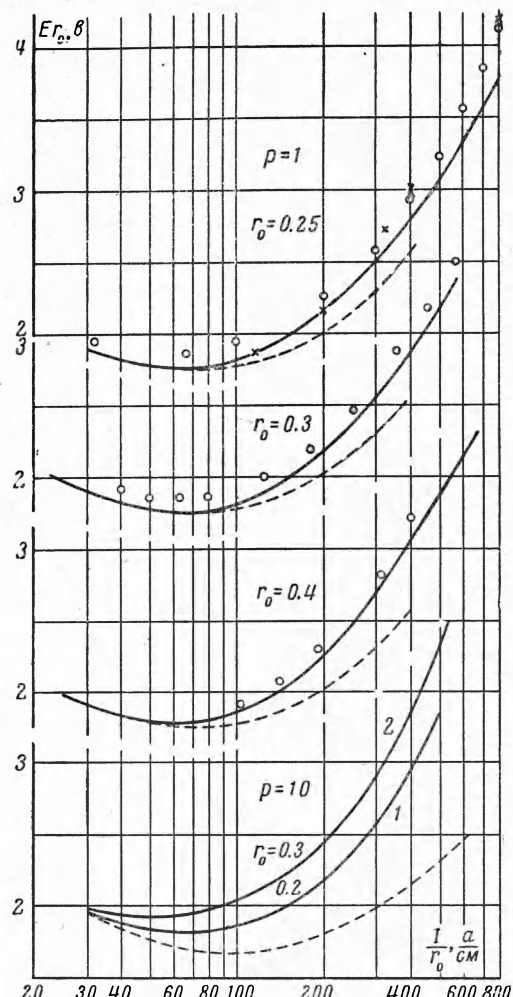
Здесь  $\varepsilon'$  — степень черноты непрозрачного участка спектра. Средняя величина пробега фотона в три раза меньше пробега при граничной частоте.

В литературе часто приводится значение энергии, излучаемой системой реабсорбированных линий из изотермического полусферического объема. По этим данным можно найти как объемную долю, так и величину  $\varepsilon' \sigma T^4$ . Энергия, излучаемая полусферическим объемом радиуса  $l$ , в линии с центром при  $v_0$  пропорциональна величине

$$A = \int_{v_0}^{\infty} [1 - \exp(-k_v l)] dv \quad (3.10)$$

Согласно приведенному выше разбиению, доли энергии, излучаемые в прозрачной и непрозрачной областях, равны

$$\frac{1}{A} \int_{v_2}^{\infty} [1 - \exp(-k_v l)] dv, \quad \frac{1}{A} \int_{v_0}^{v_1} [1 - \exp(-k_v l)] dv \quad (3.11)$$



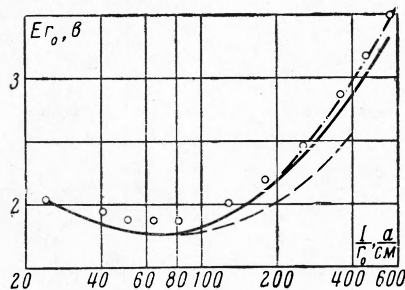
Фиг. 4

В случае, когда частоты  $\nu_1$  и  $\nu_2$  лежат в области дисперсионных крыльев, интегралы (3.11) дают соответственно 0.5 и 0.28. Таким образом, умножив энергию совокупности реабсорбированных линий на 0.28, получим  $\epsilon' \sigma T^4$ , а умножая указанную энергию на  $0.5 \cdot 4 / l$ , получим вклад соответствующих линий в дивергенцию для объемного излучения.

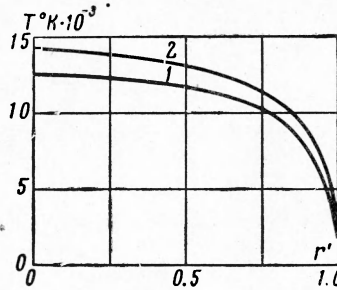
Ниже даны оценки для областей 1, 2 для дуги радиуса 0.3 см

$T = 12\,000$	$14\,000$	$16\,000$
$\epsilon' = 0.9 \cdot 10^{-4}$	$3 \cdot 10^{-4}$	$3.5 \cdot 10^{-4}$
$\kappa' = 0.05 \cdot 10^5$	$0.23 \cdot 10^5$	$0.35 \cdot 10^5$
$\kappa'/\kappa = 0.03$	0.08	0.13

Таким образом, при рассмотренных радиусах дуги  $r_0 \approx 0.3$  см и до температур  $15\,000^\circ$  К величина коэффициента лучистой теплопроводности сравнима и меньше по-



Фиг. 5



Фиг. 6

грешности, с которой известен коэффициент кондуктивной теплопроводности. При больших значениях параметров величина коэффициента лучистой теплопроводности становится заметной, и ее следует учитывать.

Доля энергии в прозрачной части области 2 не учитывалась. Полный учет ее увеличивает величину  $u$  примерно на 20%, однако ввиду перекрытия крыльев линии в области 2 эта величина завышена. Чтобы сделать более точные оценки, необходимо знать величины сил осцилляторов рассматриваемых линий. То же самое относится и к промежуточной области указанных линий. Энергия же, переносимая в промежуточной области частот резонансных линий, дает вклад в величину  $u$  порядка 5%.

Область 7 дает заметный вклад в перенос энергии излучением. Коэффициент поглощения в нужном интервале частот практически постоянен (сечение фотоионизации  $3.3 \cdot 10^{-17}$ ), его величина такова, что следует учитывать реабсорбцию. С этой целью было использовано диффузационное приближение. Уравнение энергии интегрировалось вначале без учета влияния области 7. По полученному профилю температуры находилась величина дивергенции потока энергии  $u_2$  в диффузационном приближении

$$\operatorname{div} q_v = k_v \left[ \varphi_v^\circ(x) + I_0(x) \int_0^x \varphi_v^\circ(\zeta) K_0(\zeta) \zeta d\zeta - K_0(x) \int_0^x \varphi_v^\circ(\zeta) I_0(\zeta) \zeta d\zeta - I_0(x) \left( \frac{\sqrt{3} \Lambda K_1(x_0) - K_0(x_0)}{\sqrt{3} \Lambda I_1(x_0) + I_0(x_0)} \int_0^{x_0} \varphi_v^\circ(\zeta) I_0(\zeta) \zeta d\zeta + \int_0^{x_0} \varphi_v^\circ(\zeta) K_0(\zeta) \zeta d\zeta \right) \right] \quad (3.12)$$

Эта величина использовалась затем при решении уравнения энергии.

Имея данные по величине  $\mathcal{E}$  энергии, излучаемой полусферическим объемом радиуса  $l$  в прозрачной области спектра, величину дивергенции потока энергии подсчитываем по формуле

$$u_1 = \frac{4}{l} \mathcal{E} \quad (3.13)$$

Данные по составу и свойствам переноса аргоновой плазмы сведены в табл. 1.

Таблица 1

$T, (\text{°K})$	6000	7000	8000	9000	10 000	12 000	14 000	17 000
$p = 1 \text{ атм} (l = 0.1 \text{ см})$								
$N_e$	$3.16 \cdot 10^{13}$	$2.86 \cdot 10^{14}$	$1.60 \cdot 10^{15}$	$5.81 \cdot 10^{15}$	$1.73 \cdot 10^{16}$	$7.52 \cdot 10^{16}$	$1.66 \cdot 10^{17}$	$2.02 \cdot 10^{17}$
$Q_{0e}$	$3 \cdot 10^{-17}$	$3.7 \cdot 10^{-17}$	$4.4 \cdot 10^{-17}$	$5.3 \cdot 10^{-17}$	$6.0 \cdot 10^{-17}$	$7.9 \cdot 10^{-17}$	$10 \cdot 10^{-17}$	
$\sigma'$	$2.78 \cdot 10^{12}$	$9.62 \cdot 10^{12}$	$1.74 \cdot 10^{13}$	$2.42 \cdot 10^{13}$	$3.20 \cdot 10^{13}$	$4.81 \cdot 10^{13}$	$6.30 \cdot 10^{13}$	
$\times$	$0.138 \cdot 10^5$	$0.230 \cdot 10^5$	$0.352 \cdot 10^5$	$0.733 \cdot 10^5$	$1.710 \cdot 10^5$	$2.74 \cdot 10^5$		
$\varepsilon$	$2.8 \cdot 10^{-8}$		$3.8 \cdot 10^{-6}$		$7.9 \cdot 10^{-5}$	$5.1 \cdot 10^{-4}$	$1.3 \cdot 10^{-3}$	
$u$			$1.93 \cdot 10^7$		$0.98 \cdot 10^9$	$1.1 \cdot 10^{10}$	$3.7 \cdot 10^{10}$	
$p = 10 \text{ атм} (l = 1 \text{ см})$								
$N_e$	$0.995 \cdot 10^{14}$	$0.926 \cdot 10^{15}$	$5.01 \cdot 10^{15}$	$1.96 \cdot 10^{16}$	$5.77 \cdot 10^{16}$	$2.99 \cdot 10^{17}$	$0.855 \cdot 10^{18}$	
$\sigma'$	$1.02 \cdot 10^{12}$	$6.18 \cdot 10^{12}$	$1.52 \cdot 10^{13}$	$2.53 \cdot 10^{13}$	$3.53 \cdot 10^{13}$	$5.62 \cdot 10^{13}$	$8.16 \cdot 10^{13}$	$1.125 \cdot 10^{14}$
$\times$	$0.120 \cdot 10^5$	$0.191 \cdot 10^5$	$0.332 \cdot 10^5$	$0.509 \cdot 10^5$	$0.696 \cdot 10^5$	$1.31 \cdot 10^5$	$2.35 \cdot 10^5$	$4.98 \cdot 10^5$
$\varepsilon$	$1.5 \cdot 10^{-8}$		$2.7 \cdot 10^{-4}$		$4.5 \cdot 10^{-3}$	$2.6 \cdot 10^{-2}$	$6.7 \cdot 10^{-2}$	
$u$			$2.1 \cdot 10^8$		$0.96 \cdot 10^{10}$	$1.19 \cdot 10^{11}$	$5.4 \cdot 10^{11}$	$1.33 \cdot 10^{12}$

 $N_e [\text{см}^{-3}]$ ,  $Q_{0e} [\text{см}^2]$ ,  $\sigma' [\text{сек}^{-1}]$ ,  $\times [\text{эрз}/\text{см сек град}]$ ,  $u [\text{эрз}/\text{см}^3 \text{сек}]$ 

4. Результаты расчетов. а) Расчеты проводились для давления в 1 и 10 атм при радиусах дуги 0.25, 0.30 и 0.40 см и различных температурах на оси дуги. Результаты в виде зависимости  $Er_0 [e]$  от  $I/r_0 [a/\text{см}]$  показаны на фиг. 4 и на фиг. 5 ( $r_0 = 0.3 \text{ см}$ ): пунктирная кривая — расчет без учета излучения, сплошная кривая — расчет с учетом только объемного излучения, штрих-пунктирная кривая (фиг. 5) — полный учет излучения; точки в виде кружочков и крестиков — экспериментальные данные для величин  $r_0 = 0.25$  [3, 18],  $r_0 = 0.30$  [18],  $r_0 = 0.40$  [1].

При учете излучения кривые в координатах  $Er_0, I/r_0$  расслаиваются при высоких температурах в зависимости от радиуса дуги.

На фиг. 4 приведены зависимости  $Er_0$  от  $I/r_0$  при  $p = 10 \text{ атм}$  для радиусов дуги 0.2 см (кривая 1) и 0.3 см (кривая 2), пунктирная кривая — расчет без учета излучения. На фиг. 7 приведена зависимость энергии, излучаемой дугой  $W'$ , от вкладываемой энергии  $W$  (на единицу длины): 1 —  $p = 1 \text{ атм}$ ,  $r_0 = 0.25 \text{ см}$  [3], 2 —  $p = 1 \text{ атм}$ ,  $r_0 = 0.3 \text{ см}$ , расчет, 3 —  $p = 10 \text{ атм}$ ,  $r_0 = 0.3 \text{ см}$ , расчет. При рассмотрении результатов расчетов для энергии, излучаемой с поверхности дуги, нужно иметь в виду, что энергия, переносимая в части спектра с большим значением коэффициента поглощения и в промежуточной части спектра, не учитывалась, а энергия, переносимая в учитываемой части спектра, определялась по формулам, справедливым для приближения объемного излучения; как видно из фиг. 2, приближение объемного излучения может несколько завышать величину излучаемой энергии.

Измерение излучаемой дугой в аргоне энергии при высоком давлении проводилось в работах [4, 5], для сравнения данных одной работы с другой и с расчетами необходимо знать, кроме давления и силы тока, диаметр дуги. В указанных работах такие данные не приводятся, поэтому можно сделать лишь оценки. Расчеты дают меньшую долю

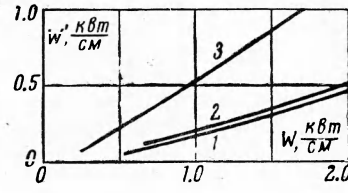
для излучаемой энергии по сравнению с полученной в работе [5], но показывают, что уже при давлении 10 атм перенос энергии излучением играет определяющую роль в процессе теплопередачи в дуге.

Роль излучения в окрестности оси канала, характеризуемая величиной  $u(0)/\sigma'(0)E^2$ , больше, чем интегрально по всей дуге, это видно из данных табл. 2 и 3.

На фиг. 6 приведена зависимость температуры от радиуса при  $r_0 = 0.3 \text{ см}$ ,  $E = 8.2 \text{ э/см}$ ,  $p = 1 \text{ атм}$ : 1 — с учетом излучения, 2 — без учета излучения.

Результаты расчетов приведены также в табл. 2 и 3.

В докладе Э. И. Асиновского и А. В. Кириллина по измеренному профилю температуры определялся коэффициент теплопроводности без учета переноса энергии излучением. Получено, что величина коэффициента теплопроводности  $\chi^+$  растет с увеличением радиуса дуги. Тот же способ определения коэффициента теплопроводности с исполь-



Фиг. 7

Таблица 2

 $p = 1 \text{ атм}$ 

$T, \text{°K}$	12 500	12 500	10 000	15 000
$r_0 \text{ см}$	0.3	0.4	0.3	0.3
$W \text{ вт/см}$	731	877	161	2280
$W'/W$	0.17	0.27	0.021	0.25
$Er_0 [e]$	2.56	2.76	1.79	3.66
$I/r_0 a / \text{см}$	287	318	90	623
$u(0)/\sigma'(0)E^2$	0.526	0.705	0.071	0.76
$\chi^+/\chi_0$	1.90	3.4	—	—

зованием профилей температуры, полученных в результате расчетов, дал величины

$$\frac{\chi^+}{\chi_0} = \left[ 1 - \frac{u(0)}{\sigma'(0) E^2} \right]^{-1}$$

приведенные в последней строке табл. 2 ( $\chi_0 = 1.9 \cdot 10^5$  эрг / см сек град). Каждующийся рост коэффициента теплопроводности объясняется влиянием излучения. Отметим, что с увеличением радиуса погрешность в  $u(0) / \sigma'(0) E^2$  начинает сильно влиять на  $\chi^+$ .

Таблица 3

 $p = 10$  атм

$T, ^\circ K$	11 000	12 500	8000	10 000	11 000	12 500
$r_0$	0.2	0.2	0.3	0.3	0.3	0.3
$W$	383	1780	34	175	717	4260
$W'/W$	0.283	0.560	—	0.292	0.485	0.714
$Er_0$	2.12	3.44	2.64	2.02	2.74	5.01
$I/r_0$	181	517	12.9	86.2	262	850
$u(0) / \sigma'(0) E^2$	0.686	0.94	—	0.507	0.93	0.995

Проведенные расчеты подтверждают выводы, сделанные на основе экспериментальных работ о большой роли переноса энергии излучением в аргоновой дуге при температуре, большей  $11 000^\circ K$  ( $p = 1$  атм), и о возрастании этой роли с увеличением радиуса дуги и давления.

Авторы признательны И. Т. Якубову за предоставление данных по излучению аргоновой плазмы.

Поступила 5 IV 1965

## ЛИТЕРАТУРА

- Emmons H. W., Land R. I. Poiseulle Plasma Experiment. Phys. Fluids, 1962, vol. 5, No. 12, p. 1489—1500.
- Emmons H. W. Recent Developments in Plasma Heat Transfer from «Modern Developments in Heat Transfer» (ed. W. Ibele), 1963, N. Y., p. 401—478.
- Маеске Г. Messung und Auswertung von Bogencharakteristiken, Z. Phys., 1960, B. 158, N. 4, S. 392—404.
- Neumann W. Bestimmung des absoluten Strahlungsanteils von Hochdruckbögen in schweren Edelgasen. Beitr. Plasma Phys., 1962, B. 2, N. 4, S. 252—256.
- Князев Ю. Р., Митин Р. В., Петренко В. И., Боровик Е. С. Излучение аргоновой дуги высокого давления. Ж. техн. физ., 1964, т. 34, № 7, стр. 1224—1230.
- Даутов Г. Ю. Цилиндрическая дуга в аргоне. ПМТФ, 1963, № 2, стр. 21—30.
- Севастьяненко В. Г., Якубов И. Т. Радиационное охлаждение газа, нагретого сильной ударной волной. Оптика и спектроскопия, 1964, т. 16, № 1, стр. 3—10.
- Schmitz G., Patt H. J., Uhlenbusch J. Eigenschaften und Parameterabhängigkeit der Temperaturverteilung und der Charakteristik eines Zylindersymmetrischen Stichstoffbogens. Z. Phys., 1963, B. 173, S. 552.
- Schmitz G., Patt H. J. Die Bestimmung von Materialfunktion eines Stickstoffplasma bei Atmosphärendruck bis  $15 000^\circ K$ . Z. Phys., 1963, B. 171, S. 449.
- Финкельбург В., Меккер Г. Электрические дуги и термическая плазма, Изд. иностр. лит., 1961.
- Eckeg G., Weisel W. Zustandssumme und effective Ionisierungsspannung eines Atoms im Inneren des Plasmas. Ann. Phys., 1956, B. 17, N. 2—3, S. 126.
- Моуре C. E. Atomic energy levels, v. 1. Washington, 1949.
- Lin S. C., Resler E. L., Kantorowitz A. Electrical Conductivity of highly ionized Argon, produced by shock waves. J. Appl. Phys., 1955, vol. 26, p. 95.
- Scherman A. Calculation of electrical conductivity of ionised gases. Amer. Rock. Soc. J., 1960, vol. 30, No. 6, p. 41.
- Neumann W. Über der radialen Temperaturverlauf im stationären und im impulsmodulierten Argon-Hochtemperaturbogen. Beitr. Plasma Phys., 1962, B. 2, N. 2, S. 80—115.
- Ziegler B. Der Wirkungsquerschnitt sehr Langsammer Ionen. Z. Phys., 1953, B. 136, N. 1, S. 108.
- Дэвисон Б. Теория переноса нейтронов. Изд. иностр. лит., 1960.
- Шейндин А. Е., Асиновский Э. И., Батурина В. А., Батенин В. М. Установка для получения плазмы и изучения ее свойств. Ж. техн. физ., 1963, т. 33, № 10, стр. 1169—1172.